



Laboratorium Badań Środowiskowych
ul. Józefa Piusa Dziekońskiego 3
00-728 Warszawa
e-mail: Laboratorium@networks.pl



AB 419

S P R A W O Z D A N I E 9548/2023/OS
Z POMIARÓW PÓL ELEKTROMAGNETYCZNYCH
WYKONANYCH DLA POTRZEB OCHRONY ŚRODOWISKA

Badany obiekt: Instalacja radiokomunikacyjna T-Mobile Polska S.A.
Numer i nazwa: 30900 (40129N!) GGD_GDANSK_REJA23
Adres: GDAŃSK, REJA 23, Powiat m. Gdańsk, WOJ. POMORSKIE

Data wykonania pomiarów: 2023-11-07

Sprawozdanie z badań bez pisemnej zgody laboratorium nie może być powielane inaczej niż w całości.
Wynik przedstawione w niniejszym sprawozdaniu odnoszą się wyłącznie do badanego obiektu i do warunków i konfiguracji urządzeń w dniu wykonywania pomiarów.

1. Właściciel badanego obiektu:

T-Mobile Polska S.A., ul. Marynarska 12, 02-674 Warszawa

2. Zleceniodawca:

T-Mobile Polska S.A., ul. Marynarska 12, 02-674 Warszawa

3. Przedstawiciel zleceniodawcy:

NetWorkS! Sp.z o.o.

4. Zakres zlecenia:

Wykonanie badania i opracowanie sprawozdania z pomiarów natężenia pola elektrycznego i pola magnetycznego dla instalacji radiokomunikacyjnej T-Mobile Polska S.A. zlokalizowanej w miejscowości GDAŃSK, REJA 23.

5. Cel zlecenia:

Wykonanie pomiarów pól elektromagnetycznych w otoczeniu instalacji radiokomunikacyjnej 30900 (40129N!) GGD_GDANSK_REJA23 w odniesieniu do wymagań określonych w *Rozporządzeniu Ministra Klimatu z dnia 17 lutego 2020 r. w sprawie sposobów sprawdzania dotrzymania dopuszczalnych poziomów pól elektromagnetycznych w środowisku (Dz.U. 2022 poz. 2630)*.

6. Pomiary zostały wykonane przez:

Dąbkowski Dominik
Mach Janusz

7. Informacje o źródłach pól elektromagnetycznych

7.1. Sposób identyfikacji badanych źródeł pól elektromagnetycznych

Identyfikacji źródeł i parametrów technicznych dokonano na podstawie analizy dokumentacji dotyczącej zlecenia oraz obserwacji miejsca wykonywania badań.

7.2. Opis miejsca zainstalowania anten i urządzeń technicznych. Opis obiektu badań i jego otoczenia

Instalacja radiokomunikacyjna zlokalizowana jest na terenie ogrodzonym. Anteny zawieszono na wieży strunobetonowej. Urządzenia sterujące oraz zasilające zainstalowano w kontenerze u podstawy wieży. Wokół instalacji znajduje się miasto. Instalacja radiokomunikacyjna jest obiektem bezobsługowym. Okresowe stanowiska pracy związane są z prowadzonymi w zależności od potrzeb konserwacjami, przeglądami, strojeniem i naprawami.

Sprawozdanie z badań bez pisemnej zgody laboratorium nie może być powielane inaczej niż w całości.
Wynik przedstawione w niniejszym sprawozdaniu odnoszą się wyłącznie do badanego obiektu i do warunków i konfiguracji urządzeń w dniu wykonywania pomiarów.

7.3. Parametry techniczne źródła pola elektromagnetycznego

Dane przedstawiające maksymalne parametry pracy instalacji przekazane przez zleceniodawcę:

Parametry systemu nadawczo-odbiorczego:

Charakterystyka promieniowania		kierunkowa					
Rzeczywisty czas pracy [h/dobę]		24					
Warunki pracy		znamionowe					
Rodzaj wytwarzanego pola		stacjonarne					
Lp.	Częstotliwość lub zakresy częstotliwości pracy [MHz]	Typ/producent anteny	liczba anten	Azymut [°]	kąt pochylenia* [°]	Wysokość środka elektrycznego anteny [m n.p.t.]	Równoważna moc promieniowana izotropowo (EIRP) [W]
1	1800/2100	ADU4518R6v06 Huawei	1	75	8/8	25.8	9915
2	800/2600	ATR4518R13 Huawei	1	75	7/6	25.8	9996
3	900	ADU4517R0v06 Huawei	1	75	6	40.7	4913
4	1800/2100	ADU4518R6v06 Huawei	1	193	8/8	25.8	9915
5	800/2600	ATR4518R13 Huawei	1	193	5/6	25.8	9996
6	900	ADU4517R0v06 Huawei	1	193	8	40.7	4913
7	1800/2100	ADU4518R6v06 Huawei	1	315	8/8	25.8	9915
8	800/2600	ATR4518R13 Huawei	1	315	5/7	25.8	9996
9	900	ADU4517R0v06 Huawei	1	315	9	40.7	4913

* wskazane wartości kąta pochylenia anten, zgodnie z informacją uzyskaną od zleceniodawcy, są wartościami stałymi

Parametry radiolinii:

Charakterystyka promieniowania		kierunkowa					
Rzeczywisty czas pracy [h/dobę]		24					
Warunki pracy		znamionowe					
Rodzaj wytwarzanego pola		stacjonarne					
Lp.	Linia radiowa			Antena			
	Typ/ Producent	Częstotliwość pracy [GHz]	Równoważna moc promieniowana izotropowo (EIRP) [W]	Typ/ producent	Średnica anteny [m]	Azymut [°]	Wysokość zainstalowania n.p.t [m]
1.	Ericsson CN510 RAU2X Harris Stratex	38	13	ANT2_0.3 38 HP Ericsson	0.3	88	50.9
2.	NP ERICSSON ML 6352 R2+ 70/80GHz 250MHz Ericsson	80	1413	ANT2_0.3 80 HP/HPX Ericsson	0.3	126	42
3.	NEC iPasolink 100E Harris Stratex	38	15	VHLP1-38 Andrew	0.3	126	50.4
4.	Ericsson CN510 RAU2X Harris Stratex	38	4	ANT2_0.3 38 HP Ericsson	0.3	154	51.2
5.	NEC iPasolink 200 Harris Stratex	38	113	VHLP1-38 Andrew	0.3	300	51.7

Sprawozdanie z badań bez pisemnej zgody laboratorium nie może być powielane inaczej niż w całości.
Wynik przedstawione w niniejszym sprawozdaniu odnoszą się wyłącznie do badanego obiektu i do warunków i konfiguracji urządzeń w dniu wykonywania pomiarów.

7.4 Inne źródła pól elektromagnetycznych

Na podstawie informacji otrzymanych od użytkownika oraz obserwacji otoczenia miejsca wykonywania pomiarów nie stwierdzono występowania innych źródeł pola-EM

8. Opis pomiarów

8.1. Metoda badań

Zgodna z rozporządzeniem Ministra Klimatu z dnia 17 lutego 2020 r. w sprawie sposobów sprawdzania dotrzymania dopuszczalnych poziomów pól elektromagnetycznych w środowisku (Dz.U. 2022 poz. 2630), określona w pkt 25 ppkt 1 załącznika do niniejszego rozporządzenia.

8.2. Termin pomiarów i warunki środowiskowe

Podczas wykonywania pomiarów pól elektromagnetycznych nie występowały opady atmosferyczne. Wyniki pomiaru parametrów pogodowych przedstawia poniższa tabela:

Data [rrrr-mm-dd]	Godzina [hh:mm-hh:mm]	Warunki środowiskowe			
		Temperatura [°C]		Wilgotność względna [%]	
2023-11-07	07:00-08:10	Przed pomiarem	Po pomiarach	Przed pomiarem	Po pomiarach
		7.5	7.7	67.6	67.5

Przedstawione wyżej warunki środowiskowe, występujące podczas wykonywania pomiarów pól elektromagnetycznych, są zgodne ze specyfikacją techniczną użytego zestawu pomiarowego.

8.3. Warunki pracy urządzeń nadawczych

Podczas pomiarów w przypadku uzyskania wyniku pomiaru szerokopasmowego wykonanego zastosowaną metodą, dla zakresów częstotliwości od 10 MHz do 300 GHz, powiększonego o rozszerzoną niepewność pomiaru U dla współczynnika rozszerzenia $k = 2$ przekraczającego 70% najniższej dopuszczalnej wartości składowej elektrycznej lub magnetycznej pola dla objętych pomiarami zakresów częstotliwości, uwzględnia się poprawki pomiarowe przekazane przez zleceniodawcę, umożliwiające uwzględnienie maksymalnych parametrów pracy instalacji zgodnie z pkt 7 załącznika do Rozporządzeniem Ministra Klimatu z dnia 17 lutego 2020 r. w sprawie sposobów sprawdzania dotrzymania dopuszczalnych poziomów pól elektromagnetycznych w środowisku (Dz. U. 2022, poz. 2630) zaznaczając, że wymagane jest wykonanie pomiaru z wykorzystaniem miernika selektywnego. W przypadku uzyskania wyniku pomiaru szerokopasmowego wykonanego zastosowaną metodą, dla zakresów częstotliwości od 10 MHz do 300 GHz, powiększonego o rozszerzoną niepewność pomiaru U dla współczynnika rozszerzenia $k = 2$ nieprzekraczającego 70% najniższej dopuszczalnej wartości składowej elektrycznej lub magnetycznej pola dla objętych pomiarami zakresów częstotliwości, nie uwzględnia się poprawek pomiarowych.

8.4. Wyposażenie pomiarowe

Zestaw pomiarowy służący do pomiaru natężenia składowej elektrycznej pola elektromagnetycznego złożony z szerokopasmowego miernika i sondy pomiarowej:

Oznaczenie miernika	Producent	Model	Numer fabryczny	Oznaczenie sondy	Producent	Model	Numer fabryczny
M-22	Narda Safety Test Solution	Miernik pól elektromagnetycznych NBM-550	H-0487	S-29	Narda Safety Test Solution	Sonda EF9091	A-0069

Mierniki natężenia pola elektromagnetycznego podlegają okresowemu sprawdzeniu zgodnie z procedurą wewnętrzną P-03 i PB-01. Świadectwo wzorcowania zestawu pomiarowego z dnia 9 czerwca 2022 o numerze LWiMP/W/160/22 wydane przez Politechnika Wrocławską.

Data ważności świadectwa wzorcowania: 9 czerwca 2024 (zgodnie z procedurą wewnętrzną P-03).

Oznaczenie miernika	Producent	Model	Numer fabryczny	Oznaczenie sondy	Producent	Model	Numer fabryczny
M-22	Narda Safety Test Solution	Miernik pól elektromagnetycznych NBM-550	H-0487	S-30	Narda Safety Test Solution	Sonda EF0391	D-1594

Sprawozdanie z badań bez pisemnej zgody laboratorium nie może być powielane inaczej niż w całości.

Wynik przedstawione w niniejszym sprawozdaniu odnoszą się wyłącznie do badanego obiektu i do warunków i konfiguracji urządzeń w dniu wykonywania pomiarów.

Mierniki natężenia pola elektromagnetycznego podlegają okresowemu sprawdzeniu zgodnie z procedurą wewnętrzną P-03 i PB-01. Świadectwo wzorcowania zestawu pomiarowego z dnia 9 czerwca 2022 o numerze LWiMP/W/160/22 wydane przez Politechnika Wrocławską.

Data ważności świadectwa wzorcowania: 9 czerwca 2024 (zgodnie z procedurą wewnętrzną P-03).

Termohigrometr:

Oznaczenie:	TH-11	Producent:	AZ INSTRUMENT CORP	Model:	Termohigrometr AZ8706
-------------	-------	------------	--------------------	--------	-----------------------

Data ważności świadectwa wzorcowania: 5 czerwca 2025 (zgodnie z procedurą wewnętrzną P-03).

Dalmierz:

Oznaczenie	Producent	Typ	Numer seryjny	Nr świadectwa wzorcowania	Data świadectwa wzorcowania
D-08	Leica	Dalmierz Leica Disto D510	1042957273	4609.4-M11-4180-1748/14	9 stycznia 2015

Data ważności świadectwa wzorcowania: 9 stycznia 2025 (zgodnie z procedurą wewnętrzną P-03).

Odbiornik GNSS:

Oznaczenie	Producent	Model	Numer fabryczny
G-09	Stonex	S5	S500321700044

Odbiorniki podlegają okresowemu sprawdzeniu zgodnie z procedurą wewnętrzną P-03.

9. Wyniki pomiarów

Pole elektryczne

Nr pionu	Opis umiejscowienia pionu (punktu) pomiarowego	Wysokość pomiaru [m]	Zmierzona wartość natężenia pola elektrycznego E [V/m] ^{1,5}			Wartość natężenia pola elektrycznego powiększona o niepewność pomiaru ⁴ E [V/m]	Wskaźnikowa wartość poziomu emisji pól elektromagnetycznych WME ³	Współrzędne geograficzne pionu (punktu) pomiarowego ²
			Sonda S-29	Sonda S-30	SUMA			
1	DPP - w płaszczyźnie otworu okiennego korytarza budynku biurowego, piętro 2, ul. Reja 23	0.3-2.0	<1.0*	<1.0*	<1.0*	1.3	0.05	54°22'52.0" 18°37'49.8"
2	DPP - w płaszczyźnie otworu okiennego korytarza budynku biurowego, piętro 1, ul. Reja 23	2.0	1.8	1.8	1.8	2.4	0.08	54°22'53.0" 18°37'49.8"
3	PKP na az. 340° w odległości 11m od anteny sektorowej az. 315°	2.0	1.2	1.2	1.2	1.6	0.06	54°22'52.0" 18°37'48.4"
4	GKP w odległości 16m od anteny sektorowej az. 315°	2.0	1.4	1.4	1.4	1.8	0.07	54°22'52.0" 18°37'48.0"
5	PKP na az. 338° w odległości 62m od anteny sektorowej az. 315°	0.3-2.0	<1.0*	<1.0*	<1.0*	1.3	0.05	54°22'53.4" 18°37'47.3"
6	PKP na az. 7° w odległości 61m od anteny sektorowej az. 315°	0.3-2.0	<1.0*	<1.0*	<1.0*	1.3	0.05	54°22'53.4" 18°37'49.1"
7	GKP w odległości 27m od anteny sektorowej az. 315°	2.0	1.3	1.3	1.3	1.7	0.06	54°22'52.3" 18°37'47.6"
8	GKP w odległości 76m od anteny sektorowej az. 315°	2.0	1.1	1.1	1.1	1.4	0.05	54°22'53.4" 18°37'45.8"
9	DPP - w płaszczyźnie drzwi wejściowych do budynku usługowo technicznego	0.3-2.0	<1.0*	<1.0*	<1.0*	1.3	0.05	54°22'49.8" 18°37'46.9"

Sprawozdanie z badań bez pisemnej zgody laboratorium nie może być powielane inaczej niż w całości.

Wynik przedstawione w niniejszym sprawozdaniu odnoszą się wyłącznie do badanego obiektu i do warunków i konfiguracji urządzeń w dniu wykonywania pomiarów.

10	GKP w odległości 27m od anteny radioliniowej az. 300°	2.0	1.2	1.2	1.2	1.6	0.06	54°22'52.0" 18°37'47.3"
11	PKP na az. 260° w odległości 49m od anteny radioliniowej az. 300°	2.0	1.1	1.1	1.1	1.4	0.05	54°22'51.2" 18°37'46.2"
12	GKP w odległości 12m od anteny sektorowej az. 193°	2.0	1.1	1.1	1.1	1.4	0.05	54°22'51.2" 18°37'48.7"
13	GKP w odległości 37m od anteny sektorowej az. 193°	2.0	1.2	1.2	1.2	1.6	0.06	54°22'50.2" 18°37'48.4"
14	GKP w odległości 82m od anteny sektorowej az. 193°	2.0	1.2	1.2	1.2	1.6	0.06	54°22'49.1" 18°37'47.6"
15	DPP - w płaszczyźnie drzwi wejściowych do budynku, ul. Reja 25	0.3-2.0	<1.0*	<1.0*	<1.0*	1.3	0.05	54°22'50.2" 18°37'49.8"
16	GKP w odległości 16m od anteny radioliniowej az. 126°	0.3-2.0	<1.0*	<1.0*	<1.0*	1.3	0.05	54°22'51.2" 18°37'49.4"
17	GKP w odległości 23m od anteny radioliniowej az. 88°	0.3-2.0	<1.0*	<1.0*	<1.0*	1.3	0.05	54°22'51.6" 18°37'50.2"
18	GKP w odległości 16m od anteny sektorowej az. 75°	2.0	1.1	1.1	1.1	1.4	0.05	54°22'51.6" 18°37'49.8"
19	DPP - w płaszczyźnie otworu okiennego szkoły, na holu, piętro 3, ul. Reja 25	0.3-2.0	<1.0*	<1.0*	<1.0*	1.3	0.05	54°22'52.0" 18°37'52.0"
20	GKP w odległości 42m od anteny sektorowej az. 75°	0.3-2.0	<1.0*	<1.0*	<1.0*	1.3	0.05	54°22'52.0" 18°37'51.2"
21	DPP - na korytarzu szkoły, 3 piętro, ul. Reja 25	0.3-2.0	<1.0*	<1.0*	<1.0*	1.3	0.05	54°22'51.2" 18°37'51.6"
22	DPP - na korytarzu szkoły, 3 piętro, ul. Reja 25	0.3-2.0	<1.0*	<1.0*	<1.0*	1.3	0.05	54°22'52.7" 18°37'53.4"
-	GKP w odległości 133m od anteny sektorowej az. 75°	2.0	2.8	2.8	2.8	3.7	0.13	54°22'52.7" 18°37'55.9"
-	GKP w odległości 214m od anteny sektorowej az. 75°	2.0	1.8	1.8	1.8	2.4	0.08	54°22'53.4" 18°38'0.2"
25	GKP w odległości 112m od anteny sektorowej az. 193°	2.0	1.8	1.8	1.8	2.4	0.08	54°22'48.0" 18°37'47.3"
-	GKP w odległości 176m od anteny sektorowej az. 193°	2.0	1.2	1.2	1.2	1.6	0.06	54°22'45.8" 18°37'46.6"
-	GKP w odległości 186m od anteny sektorowej az. 315°	0.3-2.0	<1.0*	<1.0*	<1.0*	1.3	0.05	54°22'55.9" 18°37'41.5"

Pole magnetyczne (wyznaczone na podstawie pomiaru wartości natężenia pola elektrycznego)

Nr pionu	Opis umiejscowienia pionu (punktu pomiarowego)	Wysokość pomiaru [m]	Wartość natężenia pola magnetycznego H [A/m] ¹			Wartość natężenia pola magnetycznego powiększona o niepewność pomiaru ⁴ H [A/m]	Wskaźnikowa wartość poziomu emisji pól elektromagnetycznych WM _H ³	Współrzędne geograficzne pionu (punktu pomiarowego) ²
			Sonda S-29	Sonda S-30	SUMA			
1	DPP - w płaszczyźnie otworu okiennego korytarza budynku biurowego, piętro 2, ul. Reja 23	0.3-2.0	<0.003*	<0.003*	<0.003*	0.003	0.05	54°22'52.0" 18°37'49.8"
2	DPP - w płaszczyźnie otworu okiennego korytarza budynku	2.0	0.005	0.005	0.005	0.006	0.09	54°22'53.0" 18°37'49.8"

Sprawozdanie z badań bez pisemnej zgody laboratorium nie może być powielane inaczej niż w całości.
Wynik przedstawione w niniejszym sprawozdaniu odnoszą się wyłącznie do badanego obiektu i do warunków i konfiguracji urządzeń w dniu wykonywania pomiarów.

	biurowego , piętro 1, ul. Reja 23							
3	PKP na az. 340° w odległości 11m od anteny sektorowej az. 315°	2.0	0.003	0.003	0.003	0.004	0.06	54°22'52.0" 18°37'48.4"
4	GKP w odległości 16m od anteny sektorowej az. 315°	2.0	0.004	0.004	0.004	0.005	0.07	54°22'52.0" 18°37'48.0"
5	PKP na az. 338° w odległości 62m od anteny sektorowej az. 315°	0.3-2.0	<0.003*	<0.003*	<0.003*	0.003	0.05	54°22'53.4" 18°37'47.3"
6	PKP na az. 7° w odległości 61m od anteny sektorowej az. 315°	0.3-2.0	<0.003*	<0.003*	<0.003*	0.003	0.05	54°22'53.4" 18°37'49.1"
7	GKP w odległości 27m od anteny sektorowej az. 315°	2.0	0.003	0.003	0.003	0.005	0.06	54°22'52.3" 18°37'47.6"
8	GKP w odległości 76m od anteny sektorowej az. 315°	2.0	0.003	0.003	0.003	0.004	0.05	54°22'53.4" 18°37'45.8"
9	DPP - w płaszczyźnie drzwi wejściowych do budynku usługowo technicznego	0.3-2.0	<0.003*	<0.003*	<0.003*	0.003	0.05	54°22'49.8" 18°37'46.9"
10	GKP w odległości 27m od anteny radioliniowej az. 300°	2.0	0.003	0.003	0.003	0.004	0.06	54°22'52.0" 18°37'47.3"
11	PKP na az. 260° w odległości 49m od anteny radioliniowej az. 300°	2.0	0.003	0.003	0.003	0.004	0.05	54°22'51.2" 18°37'46.2"
12	GKP w odległości 12m od anteny sektorowej az. 193°	2.0	0.003	0.003	0.003	0.004	0.05	54°22'51.2" 18°37'48.7"
13	GKP w odległości 37m od anteny sektorowej az. 193°	2.0	0.003	0.003	0.003	0.004	0.06	54°22'50.2" 18°37'48.4"
14	GKP w odległości 82m od anteny sektorowej az. 193°	2.0	0.003	0.003	0.003	0.004	0.06	54°22'49.1" 18°37'47.6"
15	DPP - w płaszczyźnie drzwi wejściowych do budynku, ul. Reja 25	0.3-2.0	<0.003*	<0.003*	<0.003*	0.003	0.05	54°22'50.2" 18°37'49.8"
16	GKP w odległości 16m od anteny radioliniowej az. 126°	0.3-2.0	<0.003*	<0.003*	<0.003*	0.003	0.05	54°22'51.2" 18°37'49.4"
17	GKP w odległości 23m od anteny radioliniowej az. 88°	0.3-2.0	<0.003*	<0.003*	<0.003*	0.003	0.05	54°22'51.6" 18°37'50.2"
18	GKP w odległości 16m od anteny sektorowej az. 75°	2.0	0.003	0.003	0.003	0.004	0.05	54°22'51.6" 18°37'49.8"
19	DPP - w płaszczyźnie otworu okiennego szkoły, na holu, piętro 3, ul. Reja 25	0.3-2.0	<0.003*	<0.003*	<0.003*	0.003	0.05	54°22'52.0" 18°37'52.0"
20	GKP w odległości 42m od anteny sektorowej az. 75°	0.3-2.0	<0.003*	<0.003*	<0.003*	0.003	0.05	54°22'52.0" 18°37'51.2"

Sprawozdanie z badań bez pisemnej zgody laboratorium nie może być powielane inaczej niż w całości.
Wynik przedstawione w niniejszym sprawozdaniu odnoszą się wyłącznie do badanego obiektu i do warunków i konfiguracji urządzeń w dniu wykonywania pomiarów.

21	DPP - na korytarzu szkoły, 3 piętro, ul. Reja 25	0.3-2.0	<0.003*	<0.003*	<0.003*	0.003	0.05	54°22'51.2" 18°37'51.6"
22	DPP - na korytarzu szkoły, 3 piętro, ul. Reja 25	0.3-2.0	<0.003*	<0.003*	<0.003*	0.003	0.05	54°22'52.7" 18°37'53.4"
-	GKP w odległości 133m od anteny sektorowej az. 75°	2.0	0.007	0.007	0.007	0.01	0.13	54°22'52.7" 18°37'55.9"
-	GKP w odległości 214m od anteny sektorowej az. 75°	2.0	0.005	0.005	0.005	0.006	0.09	54°22'53.4" 18°38'0.2"
25	GKP w odległości 112m od anteny sektorowej az. 193°	2.0	0.005	0.005	0.005	0.006	0.09	54°22'48.0" 18°37'47.3"
-	GKP w odległości 176m od anteny sektorowej az. 193°	2.0	0.003	0.003	0.003	0.004	0.06	54°22'45.8" 18°37'46.6"
-	GKP w odległości 186m od anteny sektorowej az. 315°	0.3-2.0	<0.003*	<0.003*	<0.003*	0.003	0.05	54°22'55.9" 18°37'41.5"

Pomiarów nie wykonano:

Oznaczenie braku dostępu	Opis umiejscowienia
A	W mieszkaniach nr 7-12 pod adresem ul. Reja 25, z powodu braku mieszkańców
B	W budynku biurowym pod adresem ul. Reja 23, z powodu zamkniętych pomieszczeń

GKP – Główny Kierunek Pomiarowy

DPP – Dodatkowy Pion Pomiarowy

PKP – Pomocniczy Kierunek Pomiarowy

¹ wyniki oznaczone * są wynikami poniżej czułości zestawu pomiarowego i są wynikami spoza zakresu akredytacji. Do obliczenia wyniku skorygowanego przyjęto wartość skorelowaną z rzeczywistym wynikiem pomiaru - dolną granicę akredytowanego zakresu pomiarowego metody

² współrzędne geograficzne pozyskane metodą pomiaru bezpośredniego

³ do wyznaczenia wartości wskaźnikowej W_{ME} i W_{MH} przyjęto na podstawie uzgodnień z klientem oraz rozpoznania źródeł, jako wartości dopuszczalne pola elektrycznego i magnetycznego odpowiednio 28 V/m i 0,073 A/m.

⁴ do wyznaczenia niepewności dla wyników poniżej czułości zestawu pomiarowego, przyjęto niepewność dla minimalnej wartości z zakresu pomiarowego.

⁵ maksymalna wartość chwilowa

Niepewność oszacowano zgodnie z dokumentem P-03 „Procedura nadzoru nad wyposażeniem” w postaci niepewności rozszerzonej wynikającej z niepewności standardowej pomnożonej przez współczynnik rozszerzenia $k=2$.

Całkowita szacowana niepewność rozszerzona składowej E wynosi odpowiednio:

sonda S-29: 30.6% dla częstotliwości do 3 GHz, sonda S-30: 28.6% dla częstotliwości do 3 GHz

Umiejscowienie pionów (punktów) pomiarowych przedstawiono w załączniku nr 2 do niniejszego sprawozdania.

10. Omówienie wyników pomiarów

W związku z tym, że żadna z wartości zmierzonych, udokumentowanych w tabelach w pkt. 9, uzyskanych w skutek zastosowania pomiaru szerokopasmowego, powiększonego o rozszerzoną niepewność pomiaru U dla współczynnika rozszerzenia $k = 2$ nie przekroczyła 70% najniższej dopuszczalnej wartości składowej elektrycznej lub magnetycznej pola dla objętych pomiarami zakresów częstotliwości, nie uwzględnia się poprawek pomiarowych.

W wyniku zastosowania sposobu sprawdzenia dotrzymania dopuszczalnych poziomów pól elektromagnetycznych w środowisku, zgodnie pkt 25 ppkt 1 Rozporządzenia Ministra Klimatu z dnia 17 lutego 2020 r. (Dz. U. 2022, poz. 2630), w związku z tym, że żadna z wartości wskaźnikowych, udokumentowanych w tabelach w pkt. 9 nie przekracza wartości 1, stwierdza się, że w miejscach, w których wykonano pomiary w otoczeniu

Sprawozdanie z badań bez pisemnej zgody laboratorium nie może być powielane inaczej niż w całości.

Wynik przedstawione w niniejszym sprawozdaniu odnoszą się wyłącznie do badanego obiektu i do warunków i konfiguracji urządzeń w dniu wykonywania pomiarów.

instalacji radiokomunikacyjnej 30900 (40129N!) GGD_GDANSK_REJA23, dopuszczalne poziomy pól elektromagnetycznych w środowisku należy uznać za dotrzymane.

Miejsca niedostępne podczas wykonywania pomiarów wskazane zostały w pkt. 9 (Wyniki pomiarów) lub na załączniku przedstawiającym usytuowanie pionów pomiarowych.

11. Podstawa prawna

- 1) Ustawa z dnia 27 kwietnia 2001 r. Prawo ochrony środowiska (Dz.U. 2022 poz. 2556)
- 2) Rozporządzenie Ministra Zdrowia z dnia 17 grudnia 2019 r. w sprawie dopuszczalnych poziomów pól elektromagnetycznych w środowisku (Dz. U. 2019, poz. 2448)
- 3) Rozporządzenie Ministra Klimatu z dnia 17 lutego 2020 r. w sprawie sposobów sprawdzania dotrzymania dopuszczalnych poziomów pól elektromagnetycznych w środowisku (Dz. U. 2022, poz. 2630),
- 4) Akredytacja nr AB 419 wydana przez Polskie Centrum Akredytacji (wydanie 21, z dnia 11 kwietnia 2023 r.)

12. Spis załączników

- Załącznik 1. Lokalizacja obiektu badań
- Załącznik 2. Usytuowanie pionów (punktów) pomiarowych
- Załącznik 3. Dokumentacja fotograficzna obiektu badań

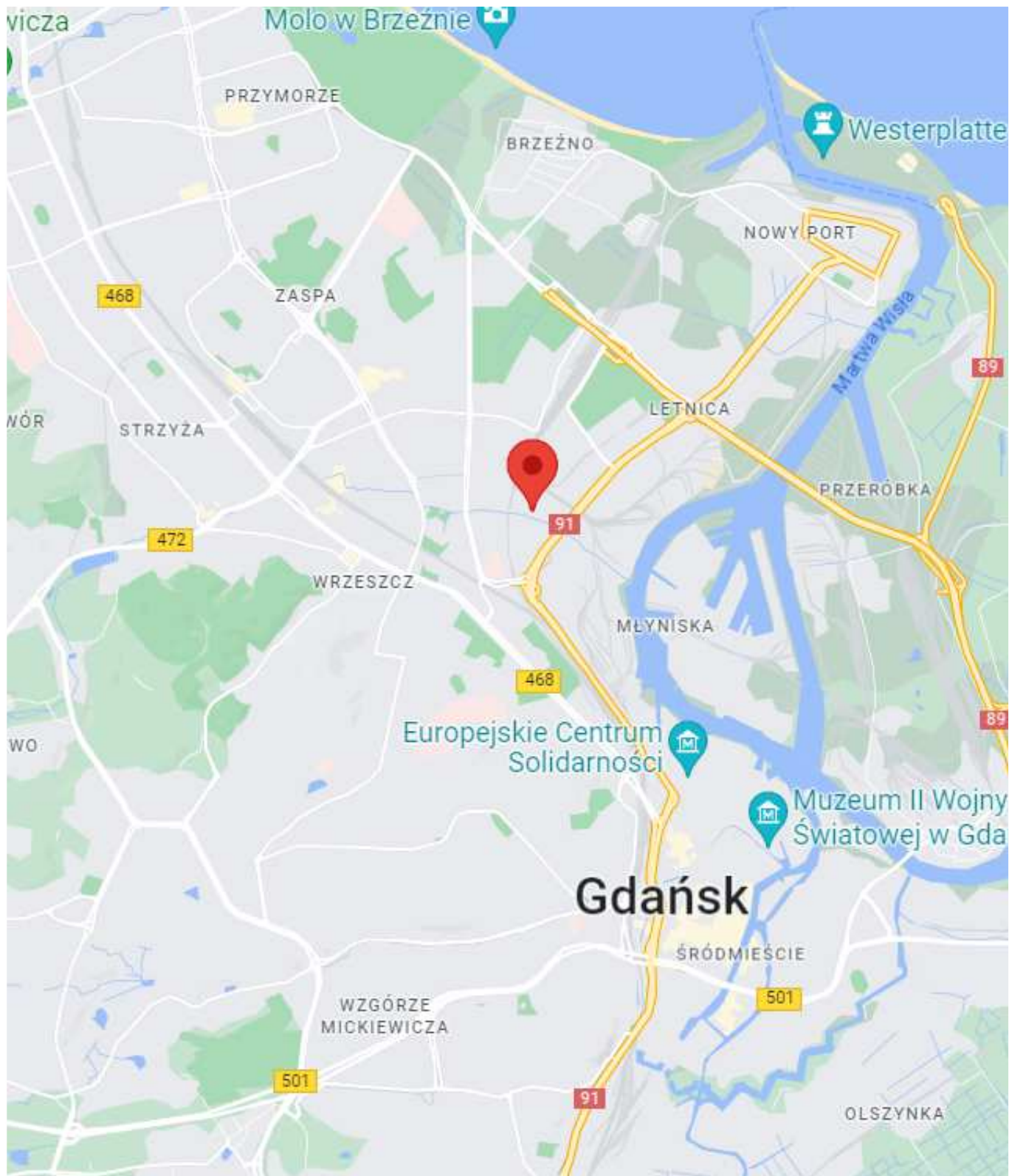
13. Data wydania i autoryzowania sprawozdania

Obliczenia i sprawozdanie wykonał :

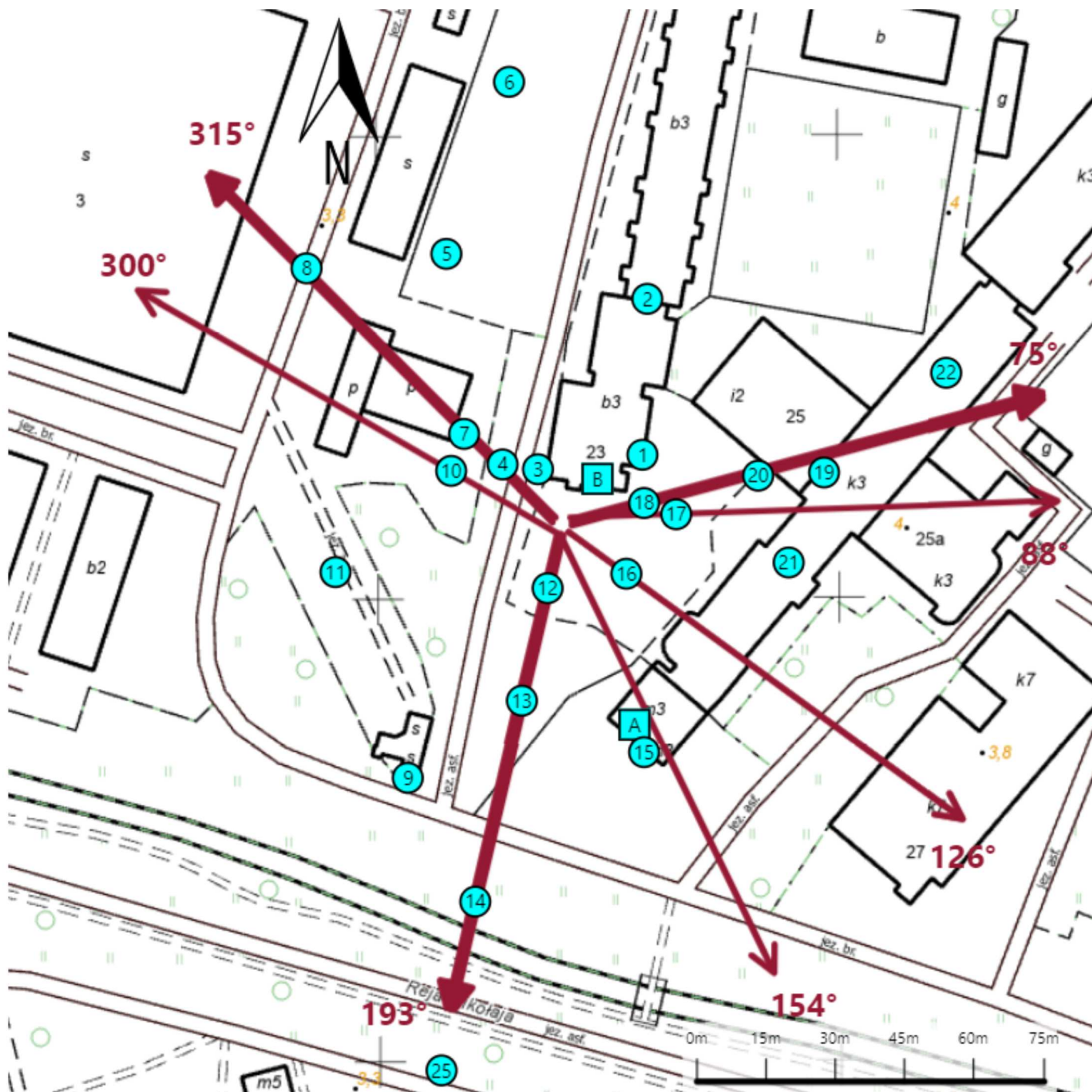
Sprawozdanie autoryzował:

Koniec sprawozdania

Sprawozdanie z badań bez pisemnej zgody laboratorium nie może być powielane inaczej niż w całości.
Wynik przedstawione w niniejszym sprawozdaniu odnoszą się wyłącznie do badanego obiektu i do warunków i konfiguracji urządzeń w dniu wykonywania pomiarów.



Załącznik nr 1	Instalacja radiokomunikacyjna T-Mobile Polska S.A. 30900 (40129N!) GGD_GDANSK_REJA23 Lokalizacja instalacji
----------------	---



Załącznik nr 2	<p style="text-align: center;">Instalacja radiokomunikacyjna T-Mobile Polska S.A. GGD_GDANSK_REJA23 (40129N!) Usytuowanie pionów pomiarowych w otoczeniu instalacji radiokomunikacyjnej</p>
Legenda:	<p style="text-align: center;"> Brak dostępu Pion pomiarowy Kierunek oddziaływania anten sektorowych Kierunek oddziaływania anten radioliniowych </p>



Załącznik nr 3

Instalacja radiokomunikacyjna T-Mobile Polska S.A.
30900 (40129N!) GGD_GDANSK_REJA23

Dokumentacja fotograficzna